

特性曲線法による河床変動計算について

神大工 正○松梨順三郎

" 正久保幸男

阪道公団 正島田博仁

洪水流による河床の侵襲、堆積については、従来、定性的にその特性が述べられ、また実験および実測については、その資料は少く、断片的に発表されている場合が多い。そこで特性曲線法を用い、一次元不定流としての洪水流を数値解析して、河床の変動特性を定量的に検討しようとした。

1 基礎方程式 広幅・矩形断面一様水路における水流の運動方程式と連続式は

$$\frac{\partial u}{\partial t} + u \frac{\partial u}{\partial x} + g \frac{\partial h}{\partial x} + g \frac{\partial z}{\partial x} = gI \quad (1)$$

$$\frac{\partial h}{\partial t} + h \frac{\partial u}{\partial x} + u \frac{\partial h}{\partial x} = 0 \quad (2)$$

流砂量式とその連続式は

$$\frac{\partial B}{\partial t} = a_s \left\{ \frac{u_*^2}{(\alpha/\beta - 1)gd} \right\}^p \quad (3)$$

$$\frac{\partial Z}{\partial t} + \frac{1}{B(1-\lambda)} \frac{\partial (\partial B)}{\partial x} = 0 \quad (4)$$

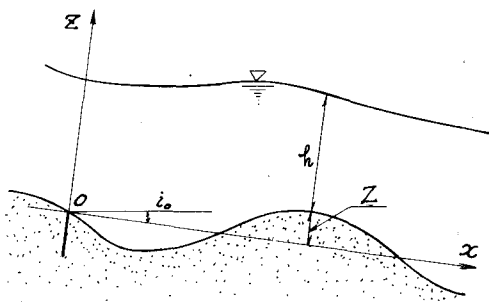


図-1

とする。ここで、 $I = i_0 - \frac{n^2 U^2}{R^{4/3}}$ 、 n は Manning 係数、 U ：平均流速、 h ：水深、 Z ：河床高、 B ：幅、 a_s ：砂の空隙率、 β ：単位幅流砂量、 d ：流砂の中央粒径、 u_* ：摩擦速度、 $\alpha/\beta - 1$ は摩擦指数で、グラウンド型の場合、 $a_s = 10$ 、 $\beta = 2$ となる。 (1) 、 (2) 、 (4) 式に未知量 u 、 h 、 Z の全微分の式を追加し、 $\frac{\partial u}{\partial t}$ 、 $\frac{\partial u}{\partial x}$ 、 $\frac{\partial h}{\partial t}$ 、 $\frac{\partial h}{\partial x}$ 、 $\frac{\partial Z}{\partial t}$ 、 $\frac{\partial Z}{\partial x}$ をあらためて未知量と考之ると、これらは、つきのように行列表示できる。

$$\begin{bmatrix} 1 & \frac{\partial u}{\partial t} & 0 & g & 0 & g \\ 0 & h & 1 & u & 0 & 0 \\ 0 & X & 0 & Y & 1 & 0 \\ dt & dx & 0 & 0 & 0 & 0 \\ 0 & 0 & dt & dz & 0 & 0 \\ 0 & 0 & 0 & 0 & dt & dx \end{bmatrix} \begin{bmatrix} \frac{\partial u}{\partial t} \\ \frac{\partial u}{\partial x} \\ \frac{\partial h}{\partial t} \\ \frac{\partial h}{\partial x} \\ \frac{\partial Z}{\partial t} \\ \frac{\partial Z}{\partial x} \end{bmatrix} = \begin{bmatrix} gI \\ 0 \\ 0 \\ du \\ dh \\ dz \end{bmatrix} \quad (5)$$

 $= I =$

$$X = \frac{K(2p+1)}{1-\lambda} \frac{n^{2p+1} U^{2p}}{d^{p-1} R^{(2p+1)/6}}, \quad Y = \frac{K(2p+1)}{6(1-\lambda)} \frac{(nU)^{2p+1} R^{(3-p)/3}}{d^{p-1} h^2}, \quad K = \frac{a_s \sqrt{g}}{(\alpha/\beta - 1)^p} \quad (6)$$

微小変動の伝播方向は、基礎方程式(5)の特性方向とし2、この式の俠数行列式 D と0とすこどりにそつてえられる。すなわち、 $\lambda = 1$ とし2、

$$C^3 - 2UC^2 - (gh - U^2 + gX)C + g(XU - Yh) = 0 \quad (7)$$

$= I =$ 、 $C = \frac{dx}{dt}$ であり、上式は一般に三つの根 C_1 、 C_2 、 C_3 をもつ。これらの近似根をみると、

$$C_1 = k_1(1 + \varepsilon_1), \quad C_2 = k_2(1 + \varepsilon_2), \quad C_3 = k_3(1 + \varepsilon_3) \quad (8)$$

より $\varepsilon_1 = 1$, $k_1 = u + \sqrt{gh}$, $k_2 = u - \sqrt{gh}$, $k_3 = -g(xu - Yh)/(u^2 - gh)$, $\varepsilon_1 = (au - b)/\{(k_2 - k_1)(k_3 - k_1)\}$

$$\varepsilon_2 = \{a - (k_1 - k_3)\varepsilon_1\}/(k_2 - k_3), \quad \varepsilon_3 = -(1 + \varepsilon_2), \quad a = 2u - (k_1 + k_2 + k_3), \quad b = -(gh - u^2 + gX) - (k_1 k_2 + k_2 k_3 + k_3 k_1)$$

つまり x 軸上に三つの特性曲線上でそれぞれ成立すべき連続式は、式(5)の解が有限値をもつ条件として、つきのようにえられる。

$$\frac{C_i}{g} (u - C_i) du - (Y + C_i) dh + (u - C_i) dz = C_i(u - C_i) I dt \quad (9)$$

ただし, $i = 1, 2, 3$ とする。

2 数値計算の手順

いま図-2のようには、初期条件として、直線 l 上の未知量 u , h , Z が既知であるとする。 l より微小時間経過した点上と未知量とする。 x 軸を通る特性曲線 C_1 , C_2 , C_3 とし、直線 l と点 u , d , e で交わすものとする。初めに上点の位置 (x_p, t_p) を与え、その点の未知量 (u_p, h_p, Z_p) を求める手

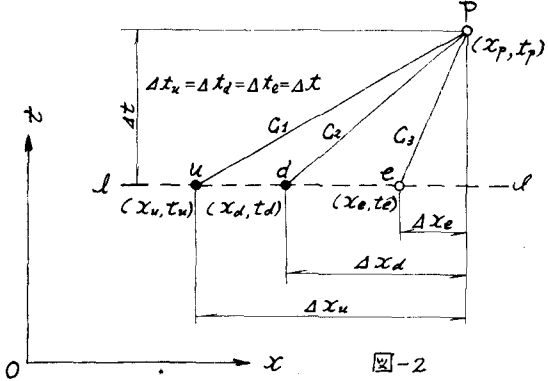


図-2

法を考えるが、得られる差分方程式の非線形性に問題があり、 $z = z'$ は、 u, d, e が既知量として未知量 l の位置あれば「未知量と基礎方程式(8), (9)の差分化」によって決定する。この場合、三つの既知量は独立には考えられない。左とえば、 u, d を独立の既知量とすと、これから出発する特性曲線 C_1, C_2 の交点として上点の位置が決定し、 z の点を通る第三の特性曲線 C_3 と直線 l との交点として下点の位置が逐次的に求まる。 $z < 3$ 。(五ヶ所、 u と z の x 座標 x_e は未知量となる。式(8), (9) 差分式によると、

$$C_1: \Delta x_u / \Delta t_u = [C_1]_u = C_{1u} \quad (10)$$

$$C_{1u}(u_u - C_{1u}) \Delta u_u / g - C_{1u} \Delta h_u + (u_u - C_{1u}) \Delta Z_u = C_{1u}(u_u - C_{1u}) I_u \Delta t_u \quad (11)$$

$$C_2: \Delta x_d / \Delta t_d = [C_2]_d = C_{2d} \quad (12)$$

$$C_{2d}(u_d - C_{2d}) \Delta u_d / g - C_{2d} \Delta h_d + (u_d - C_{2d}) \Delta Z_d = C_{2d}(u_d - C_{2d}) I_d \Delta t_d \quad (13)$$

$$C_3: \Delta x_e / \Delta t_e = [C_3]_e = C_{3e} \quad (14)$$

$$C_{3e}(u_e - C_{3e}) \Delta u_e / g - C_{3e} \Delta h_e + (u_e - C_{3e}) \Delta Z_e = C_{3e}(u_e - C_{3e}) I_e \Delta t_e \quad (15)$$

既知量の x 座標固有値から

$$x_u + \Delta x_u = x_d + \Delta x_d = x_e + \Delta x_e \quad (16), (17)$$

$$t_u + \Delta t_u = t_d + \Delta t_d = t_e + \Delta t_e \quad (18), (19)$$

$$u_u + \Delta u_u = u_d + \Delta u_d = u_e + \Delta u_e \quad (20), (21)$$

$$h_u + \Delta h_u = h_d + \Delta h_d = h_e + \Delta h_e \quad (22), (23)$$

$$Z_u + \Delta Z_u = Z_d + \Delta Z_d = Z_e + \Delta Z_e \quad (24), (25)$$

の 16 つの方程式である。この場合の未知量は、次式で示す 16 つである。

$$\left. \begin{array}{l} \Delta x_u, \Delta x_d, \Delta z_e; \Delta t_u, \Delta t_d, \Delta t_e; \Delta u_u, \Delta u_d, \Delta u_e \\ \Delta h_u, \Delta h_d, \Delta h_e; \Delta z_u, \Delta z_d, \Delta z_e; \Delta e \end{array} \right\} \quad (26)$$

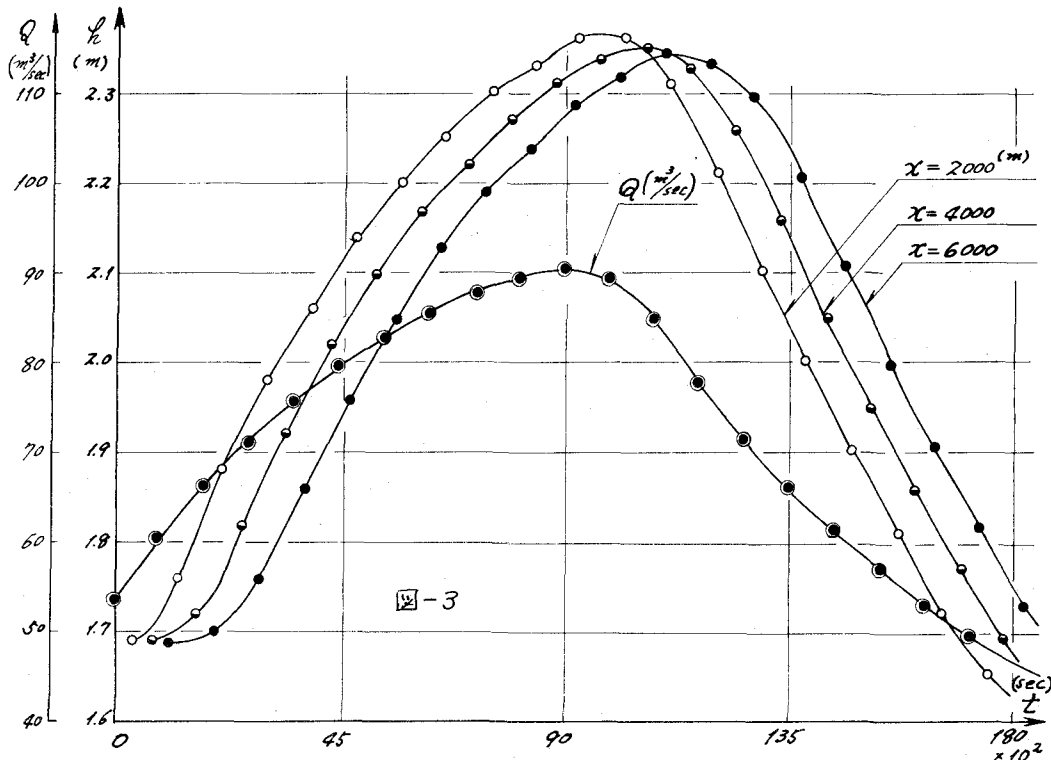
以上に 8 つの方程式的方程を決定する = これは能であります。式(14), (15) の未知量(26)は、固して一次形であります。したがって、これを次の 8 つを段階的に取り扱います。まず、式(10), (12), (16), (18)と一組の方程式系とすると、これは未知量 $\Delta x_u, \Delta t_u, \Delta z_d, \Delta t_d$ についての方程式となり、これを解くこと。

$$\Delta t_u = \Delta t_d = \Delta t, \quad \Delta x_u = C_{1u} \Delta t, \quad \Delta x_d = C_{2d} \Delta t \quad (27)$$

となる。たゞし、 $\Delta t = (x_d - x_u) / (C_{2d} - C_{1u})$ とすと、つまに、 $C_{3e} = C_{3d} + (C_{3d} - C_{3u})(x_e - x_d) / (x_d - x_u)$ となる。したがって、式(14), (17), (19)を一組の方程式系とすると、これは未知量 $x_e, \Delta z_e, \Delta t_e$ についての非線形の方程式となるが、その解はつまづくに見えられず。

$$\Delta t_e = \Delta t, \quad \Delta x_e = \frac{C_{3d} + (C_{3d} - C_{3u}) \Delta x_d / (x_d - x_u)}{1 + (C_{3d} - C_{3u}) \Delta t / (x_d - x_u)} \cdot \Delta t, \quad x_e = x_d + \Delta x_d - \Delta x_e \quad (28)$$

かつて、位置が決定されると、 u_e, h_e, Z_e, C_{3e} はすべて既知となります。したがって、残りの 9 つの関係式(11), (13), (15), (20), (21), (22), (23), (24), (25)は残りの 9 つの未知量 $\Delta u_u, \Delta u_d, \Delta u_e; \Delta h_u, \Delta h_d, \Delta h_e; \Delta z_u, \Delta z_d, \Delta z_e$ についての方程式となり、これを解くこと。未知量の解はつまづくように決定すと = とかでさす。



$$\left. \begin{aligned} x_p &= x_u + \alpha z_u, \quad t_p = t_u + \alpha t_u, \quad u_p = u_u + \alpha u_u \\ h_p &= h_u + \alpha h_u, \quad z_p = z_u + \alpha z_u \end{aligned} \right\} \quad (21)$$

3 數値計算 尼崎市左下川の口鉄交差点近傍の下流を対象とした。 $B=31m$, $\alpha=2.65$, $\lambda=0.3$, $d_{so}=0.5mm$, $n=0.027$, $i_0=1/1000$, 口鉄交差点と上流端 $x=0$ とし, $=0$ 地震 t'' の流入ハイドログラフ $Q-t''$ は共済屋, 資料により, それを修正して, 図-3 の $Q-t''$ をえた。なお上流端は固定床とする。 $\Delta t=100sec$ とし, 172本の C_i 特性曲線上でそれを 100 節の未知数とし, 図-3, 4, 5 の結果をえた。図-3 は下流 $2, 4, 6$ Km 地震における洪水位の時間変化を示す。図-4 は同地震における河床高

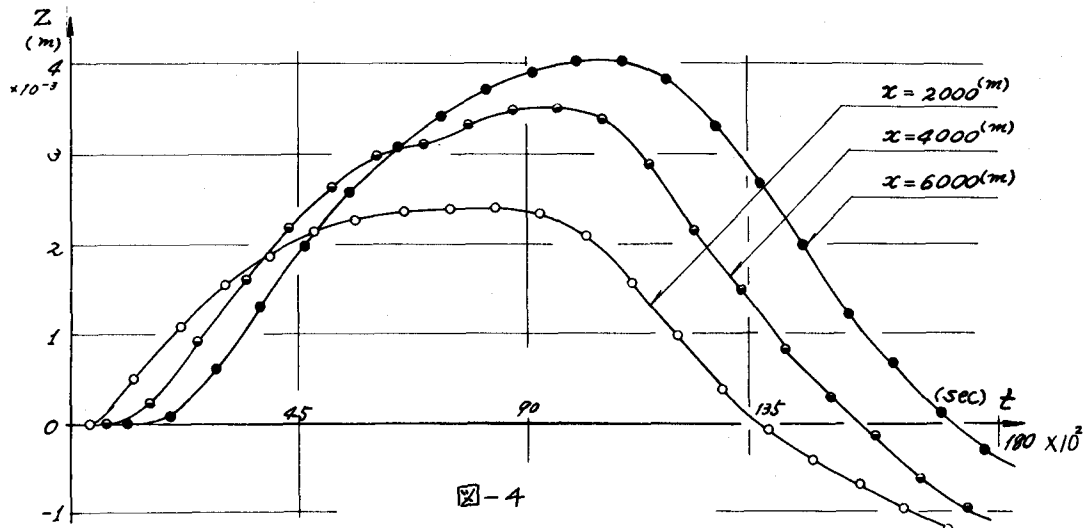


図-4

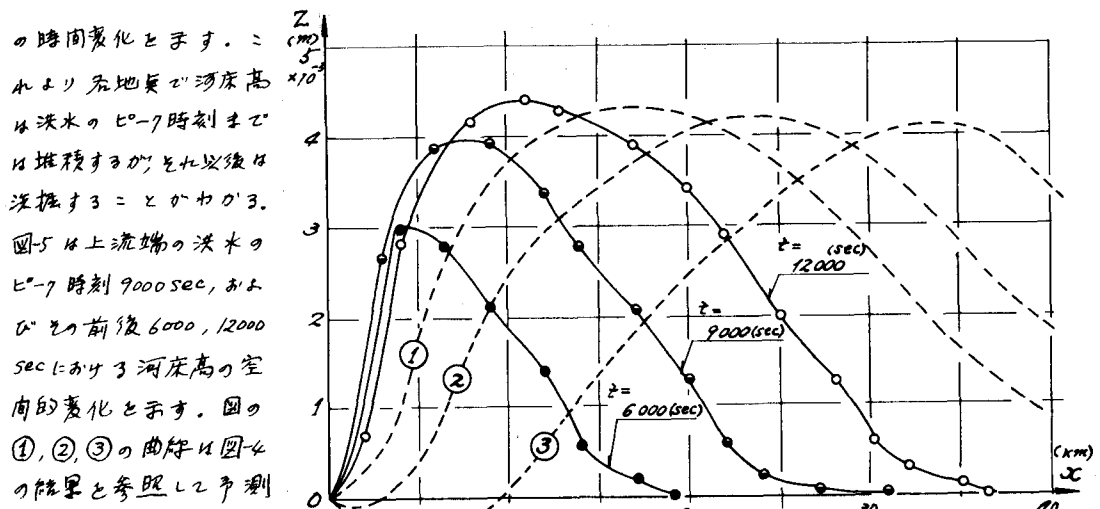


図-5

定性的には洪水による河床変動の特性を示していると言え。しかし定量的には河床高が意外に小さく、問題があり、これは中間的結果とい可観です。